

大型水库水质数值模拟及应用

王 敏 姜利兵 周伟东 鄢学军

(环境与移民工程院)

[摘要] 为了解拟建马莲河水库蓄水后水质变化趋势,本文预测了水库蓄水后平水年库区 COD_{cr}、氨氮、总磷常规水质因子状况。以 EFDC 模型为基础,马莲河平水年来水流量及供水流量、水质等为计算边界,建立了马莲河水库二维水质模型,模拟分析马莲河水库库区水质情况。结果表明:拟建的马莲河水库蓄水后,在水库上游来水水质满足水功能区水质要求的前提下,马莲河库区坝前、库中水体水质总体良好,平水年 COD_{cr}、总磷、NH₃-N 浓度均可水功能区水质标准要求。库区水体水质主要受到上游来水水质的影响。来水浓度较高时,坝址断面 COD_{cr}、总磷、NH₃-N 浓度偏高。来水浓度较低时,坝址断面 COD_{cr}、总磷、NH₃-N 浓度偏低。

[关键词] EFDC 马莲河水库 水质模型

水库工程的建设带来巨大经济效益的同时,也带来了严重的环境问题,其中水质污染尤为突出。水质预测是水污染防治的基础工作,自 1925 年美国工程师 Streete 和 Phelps 提出第一个溶解氧平衡模型以来(简称 S-P 模型)^[1],水质模型的研究就有了很大的发展。在 S-P 模型的基础上美国国家环境保护署(USEPA)提出了 QUAL-I、QUAL-II 模型^[2];此后 Tim-id. 提出了动态 WASP 模型^[3]。在过去的十数年里,水动力和水质模型已经从单一的一维、稳态流模型发展到复杂的三维、非恒定流模型,耦合了水动力、悬浮物、有毒无助和富营养化等过程。目前水质模型仍以欧美发达国家所开发为主,目前流行的有 EFDC 模型、MIKE 模型、Delft3D 模型、SMS 模型、WASP 模型、QUAL2E 和 QUAL2K 等^[4-6]。水动力及水质模块是 EFDC 模型中两个最核心的模块,技术已非常成熟,甘衍军等^[7]采用 EFDC 模型模拟了二滩水库水温分层特征;赵一慧等^[8]采用 EFDC 模型研究了小浪底水温分布特征;谢锐等^[9]选用 EFDC 模型模拟了长江口三维水流运动,均取得了较好的研究成果。本文利用 EFDC 软件进行水库水质模拟,分析建库后马莲河库区 COD_{cr}、NH₃-N、总磷变化规律,可为水库水环境管理、水污染防治提供理论基础。

1 EFDC 模型介绍

环境流体动力学模型 EFDC (Environmental Fluid Dynamics Code) 由美国佛吉尼亚海洋科学研

究所开发,是基于 Boussinesq 假定的数学模型。EFDC 模型是集水动力模块、泥沙输运模块、污染物运移模块和水质预测模块一体^[10],可以用于河流、湖泊、水库、湿地和近岸海域不同时空尺度的流场、水温、泥沙以及水质等因子的模拟。EFDC 模型采用 FORTRAN 语言编制,可通过设置初始化文件和时间序列输入文件调整模拟维数、时空特性、环境条件和负荷等,适用于特定湖库模拟和情景分析。EFDC 模型主要框架见图 1^[11]。

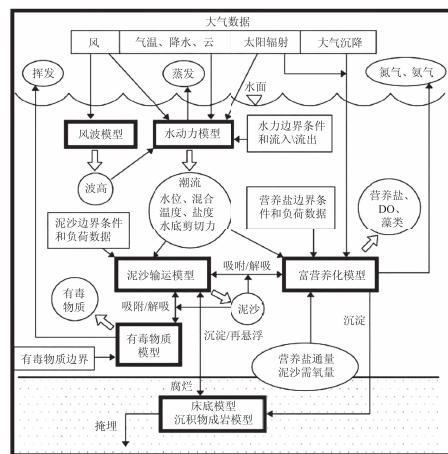


图 1 EFDC 的主要框架和单元

EFDC 水动力学方程假定垂向静压,水平方向采用曲线正交坐标系,水质方向采用 δ 坐标变换,沿重力方向分层,求解三维紊动粘性方程,水平边界拟合正交曲线坐标系和垂向 δ 坐标系下控制方程。

作者简介:王敏(1983—),女,山东省郓城人,高级工程师,硕士,从事环境保护与影响评价工作。

①连续方程:

$$\partial_t(m_x m_y H) + \partial_x(m_y Hu) + \partial_y(m_x Hn) + \partial_z(m_x m_y w) = Q_H + \delta(0)(Q_{ss} + Q_{sw}) \quad (1)$$

②动量方程:

$$\partial_t(mHu) + \partial_x(m_y Huu) + \partial_y(m_x Hvu) + \partial_z(m\omega u) - (mf + v\partial_x m_y - u\partial_y m_x)Hv = -m_y H\partial_x(g\zeta + p) - m_y(\partial_x h - z\partial_x H)\partial_z p + \partial_z(mH^{-1}A_v \partial_z u) + Q_u \quad (2)$$

$$\partial_t(mHv) + \partial_x(m_y Huv) + \partial_y(m_x Hvv) + \partial_z(m\omega v) - (mf + v\partial_x m_y - u\partial_y m_x)Hu = -m_x H\partial_y(g\zeta + p) - m_x(\partial_x h - z\partial_y H)\partial_z p + \partial_z(mH^{-1}A_v \partial_z v) + Q_v \quad (3)$$

$$\partial_z p = -gH(\rho - \rho_0)\rho_0^{-1} = -gHb \quad (4)$$

$$\partial_t(m\zeta) + \partial_x(m_y Hu) + \partial_y(m_x Hv) + \partial_z(m\omega) = 0 \quad (5)$$

$$\partial_t(m\zeta) + \partial_x(m_y H \int_0^1 u dz) + \partial_y(m_x H \int_0^1 v dz) = 0 \quad (6)$$

$$\rho = \rho(p, S, T) \quad (7)$$

③水温输移方程:

$$\begin{aligned} \partial_t(m_x m_y HT) + \partial_x(m_y HuT) + \partial_y(m_x HvT) + \partial_z(m_x m_y \omega T) &= \partial_x\left(\frac{m_y}{m_x} HA_H \partial_x T\right) + \partial_y\left(\frac{m_x}{m_y} HA_H \partial_y T\right) + \partial_z \\ &\left(m_x m_y \frac{A_b}{H} \partial_x T\right) + m_x m_y H \Phi_1 + S_t \end{aligned} \quad (8)$$

其中 sigma 坐标变换前的垂向速度 ω^* 与变换后的垂向速度 ω 间的关系为:

$$\begin{aligned} \omega &= \omega^* - z(\partial_x \zeta + um_x^{-1} \partial_x \zeta + vm_y^{-1} \partial_y \zeta + (1-z) \\ &(um_x^{-1} \partial_x h + vm_y^{-1} \partial_y h)) \end{aligned} \quad (9)$$

上述方程组中:

u 和 v 分别为曲线正交坐标 x 和 y 方向上的水平速度分量; m_x 和 m_y 为坐标变换因子; $H = h + \zeta$ 为总水深, h 为河底高程, ζ 为水位; f 为 Coriolis 系数; A_v 为垂直紊动粘性系数; Qu 和 Q_v 为动量源汇项; ρ 为扰动密度, 一般为温度和盐度等的函数; ρ_0 为参考密度; p 为由密度的变化引起的动水压强; b 为浮力; Q_H 为体积源和汇, 包括降雨、蒸发、以及可以忽略动量通量的侧向入流和出流的源漏项; Q_{ss} 和 Q_{sw} 为在河床和水体之间的沉积物和水量的净容积通量, 其中从河床到水体的方向被定义为正; $\delta(0)$ 函数为进入水体底层的通量; A_b 和 A_H 分别为垂直紊动扩散系数和水平紊动扩散系数; $\frac{m_y}{m_x} HA_H$, $\frac{m_x}{m_y} HA_H$, $m_x m_y \frac{A_b}{H}$ 分别为 x 、 y 和 z 方向上的湍流热扩散系数; T 为水温; Φ_1 为进入水体的太阳短波辐射量; S_t 为水体与大气之间的热通量。

④水质模块控制方程

$$\begin{aligned} \frac{\partial C}{\partial t} + \frac{\partial(uC)}{\partial x} + \frac{\partial(vC)}{\partial y} + \frac{\partial(wC)}{\partial z} &= \frac{\partial}{\partial x}\left(K_x, \frac{\partial C}{\partial x}\right) + \\ \frac{\partial}{\partial y}\left(K_y, \frac{\partial C}{\partial y}\right) + \frac{\partial}{\partial z}\left(K_z, \frac{\partial C}{\partial z}\right) + S_c \end{aligned} \quad (10)$$

其中: C 为水质状态变量浓度; u, v, w 为 x, y, z 方向速度分量; K_x, K_y, K_z 为 x, y, z 方向的湍流扩散系数; S_c 为每单位体积内部与外部的源和汇。

若只对物理输运过程求解, 那么可将其简化为下式^{[12]~[14]}:

$$\begin{aligned} \frac{\partial C}{\partial t} + \frac{\partial(uC)}{\partial x} + \frac{\partial(vC)}{\partial y} + \frac{\partial(wC)}{\partial z} &= \frac{\partial}{\partial x}\left(K_x, \frac{\partial C}{\partial x}\right) + \\ \frac{\partial}{\partial y}\left(K_y, \frac{\partial C}{\partial y}\right) + \frac{\partial}{\partial z}\left(K_z, \frac{\partial C}{\partial z}\right) \end{aligned} \quad (11)$$

而大多数水质模型都是采用一阶动力学, S_c 对 C 线性变化, 上式可变为:

$$\frac{\partial C}{\partial t} = K \cdot C + R \quad (12)$$

式中, k 为动力学速率; R 为由于外部负荷和/或内部反应引起的源汇项。

2 工程概况

马莲河是泾河最大的一级支流, 黄河三级支流, 发源于宁夏自治区盐池县麻黄山和陕西省定边县的白于山一带。河流全长 374.8 km, 干流河道平均比降约 1.35‰, 多年平均径流量 3.56 亿 m³, 流域整体水资源利用率较低。

贾咀水库坝址位于泾河一级支流马莲河入泾河口以上 50 km 处, 属庆阳市宁县辖境, 下距宁县县城 10 km, 是一座以供水、灌溉为主的大型水利枢纽工程。水库最大回水长度为 47.5 km, 库区面积为 26.11 km², 总库容 4.79 亿 m³。马莲河水库死水位 982 m, 拦沙库容 2.23 亿 m³, 正常蓄水位 999 m。马莲河水库属于国务院确定的 172 项重大水利工程之一。

3 模型建立

3.1 库区网格划分

根据马莲河水库淹没区地形测量数据, 对库区地形进行线性插值, 构建数字高程模型。水库正常蓄水位时, 主库区回水至上游约 47.5 km 处, 取该段河道作为研究区域。库区河道横向概化为 25 个网格, 平均宽度为 50 m; 网格间距不等, 约为 30~140 m(平均 80 m); 研究区域共有 8 159 个网格。马莲河水库库区模型计算网格及地形高程图如图 2 所示。

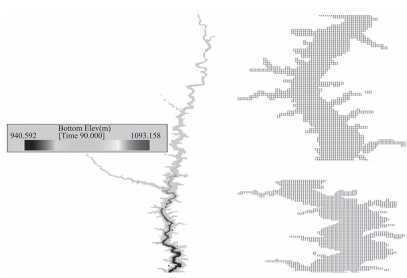


图2 水库库区模型计算网格(局部)及地形高程图

3.2 边界及初始条件

选用坝址邻近的宁县气象站观测的数据作为模型的部分边界条件(见表1)。气象站测量数据有气温、相对湿度、蒸发、太阳短波辐射、云量和风速

等,数据采用月平均值。

根据模拟计算要求,模型共设3个上边界,2个下边界,均为流量边界。模型上边界分别支流太乐沟、赵家川流量、干流入库库尾流量,入库流量根据来水流量得到。模型下边界为设计泄水流量,分别为供水流量及生态环境流量。流量采用平水年($P=25\%$)日均流量值,水库库尾流量值见图3。

水质因子选取COD_{cr}、总磷(TP)和氨氮(NH₃-N)等常规水质因子进行预测分析。初始水质参数设为2018年1月初马莲河水库坝址断面实测值,水温为0.1℃,COD_{cr}、总磷(TP)和氨氮(NH₃-N)浓度分别为28 mg/L、0.08 mg/L和1.3 mg/L。

表1 边界条件的月平均值

项目	1	2	3	4	5	6	7	8	9	10	11	12
平均气温/℃	-5.0	-0.5	6.2	12.3	16.9	21.2	23.0	21.7	16.4	10.5	3.4	-3.0
平均相对湿度/%	56	61	63	61	63	59	72	75	80	77	72	64
平均风速/m·s ⁻¹	1.1	1.2	1.5	1.6	1.5	1.4	1.3	1.2	1.2	1.1	1.1	1.1
云量(0.1)	6.6	7.0	6.6	6.7	7.2	7.1	8.1	8.0	8.1	7.2	5.7	5.9
太阳辐射强度/W·m ⁻²	160	181	199	213	262	280	292	285	210	190	185	165
入流温度/℃	0.1	2.2	7.8	12.6	16.3	20.1	22.5	21.4	17.9	11.5	5.2	1.3

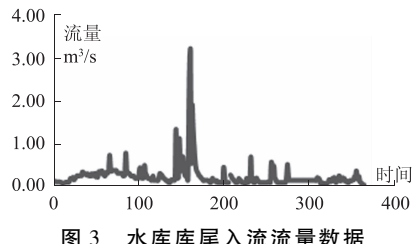


图3 水库库尾入流流量数据

3.3 参数确定

由于马莲河水库为拟建水库无法采用实测数据对水质参数进行率定。本文根据模型参数的影响规律,采用试算法对其进行率定,即根据经验公式先给出参数初始取值。根据计算式(13)计算,并根据《全国水环境容量核定技术指南》的参数范围,参考《原型观测法在确定九龙滩水库污染物降解系数中的应用》^[15]、《大型水库三维水质模型研究》^[16]中对水库降解系数的研究,确定主要预测因子水质降解系数,见表2。

表2 马莲河水利枢纽库区主要污染物水质降解参数

参数	描述(d ⁻¹)	取值
K _{CODcr}	化学需氧量降解速率	0.008
K _{E_b}	背景消光系数	0.45
K _{RP}	难溶解颗粒有机磷水解速率	0.003
K _{LP}	易溶解颗粒有机磷水解速率	0.01
K _{DP}	溶解有机磷矿化速率	0.01
K _{RN}	难溶解颗粒有机氮水解速率	0.005
K _{LN}	易溶解颗粒有机氮水解速率	0.075
K _{DN}	溶解有机氮矿化速率	0.05
rNitM	最大硝化速率	0.06

$$S_{\phi} = -k_{(20^{\circ})} \theta^{T-20} C \quad (13)$$

式中: S_{ϕ} 为源汇项,mg/L; $k(20^{\circ})$ 是水温为20℃时各水质组分的降解系数; θ 为各水质组分的温度修正系数; C 为相应水质组分的浓度,mg/L。

4 水质预测结果及分析

利用上述建立的马莲河库区水质模型以及选取的边界条件,模拟出平水年库区水质分布状况,可为水库蓄水后库区水环境管理提供依据。模拟结果见表3,图4。在水库上游来水水质满足水功能区水质要求(IV类)的前提下,马莲河库区坝前、库中水体水质总体良好,平水年模拟指标均可满足《地表水环境质量标准》IV类水标准要求。

图4,表3分别给出了库中和坝址断面丰水期、平水期、枯水期COD_{cr}、总磷和NH₃-N浓度变化。现状来流水体中丰水期COD_{cr}、总磷和NH₃-N浓度较高,主要是由于丰水期入流流量较大,随着水量带来较多的污染物。但由于库中和库尾流速较低、水体停留时间较长,COD_{cr}、总磷和NH₃-N在库区随流输移的过程中得到长时间的降解,因此库中和坝址断面COD_{cr}、总磷和NH₃-N浓度均满足IV类水质目标要求。

在现状入流情况下,库区水体水质主要受到上游来水水质的影响,随着水库来流的不断汇入,库区水体逐渐被来流水体替换。丰水期上游来水

COD_{er} 、总磷、 $\text{NH}_3\text{-N}$ 浓度较高,坝址断面 COD_{er} 、总磷、 $\text{NH}_3\text{-N}$ 呈相应变化。枯水期来水中的 COD_{er} 、总磷、 $\text{NH}_3\text{-N}$ 浓度也偏低。

磷、 $\text{NH}_3\text{-N}$ 浓度较低,故坝址断面中的 COD_{er} 、总磷、 $\text{NH}_3\text{-N}$ 浓度也偏低。

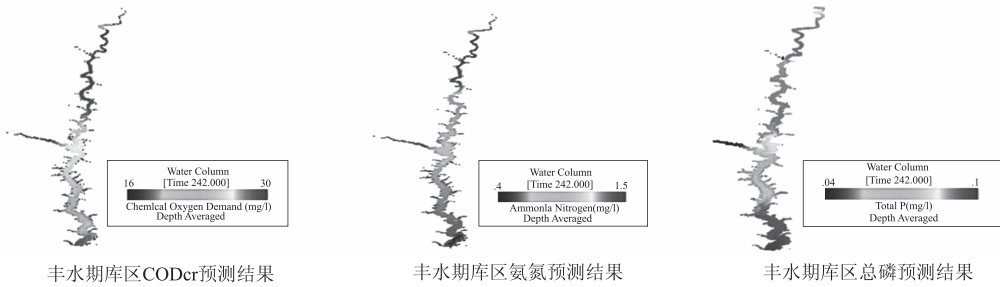


图 4 库区水库丰水年水质预测结果

表 3 贾咀库区平水年各水期库区水质浓度分布 (mg/L)

位置	水期	COD_{er}	氨氮	总磷	水质评价结果
库中	平水期	22	0.74	0.081	IV
	丰水期	25	0.89	0.083	IV
	枯水期	23	0.81	0.082	IV
坝前	平水期	19	0.52	0.050	IV
	丰水期	21	0.63	0.054	IV
	枯水期	20	0.55	0.049	IV

5 结论

基于 EFDC 模型建立的马莲河水库二维水动力和水质模型,可以定量反映马莲河水库的水动力和水质变化过程,对马莲河水库蓄水后的水环境管理具有一定的参考价值。

(1) 拟建的马莲河水库蓄水后,在水库上游来水水质满足水功能区水质要求(IV类)的前提下,马莲河库区坝前、库中水体水质总体良好,平水年 COD_{er} 、总磷、 $\text{NH}_3\text{-N}$ 浓度均可满足《地表水环境质量标准》IV类水标准要求。

(2) 库区水体水质主要受到上游来水水质的影响。来水浓度较高时,坝址断面 COD_{er} 、总磷、 $\text{NH}_3\text{-N}$ 浓度偏高。来水浓度较低时,坝址断面 COD_{er} 、总磷、 $\text{NH}_3\text{-N}$ 浓度偏低。

参考文献

- [1] 胡乃利. 玉清湖水库水质评价及预测研究 [D]. 济南: 山东大学, 2008.
- [2] Seok Soon Park, Yong Seok Lee. A water quality modeling study of the Nakdon [J]. River Ecological Modeling, Korea, 2002, 152:65 - 75.
- [3] Timid. Water Quality Analysis Simulation Program (WASP) Version6.0, Draft ;User's Manual [C]. Region 4 Atlanta, GA, USEPA MSTetraTech, Inc, 2001.
- [4] 段扬. 基于 EFDC 的丹江口水库水环境数值模拟分析 [D]. 北京: 中国地质大学(北京), 2014.
- [5] 韩雅琼, 沈永明. 基于 EFDC 的渤海冬夏季环流及其影响因素的数值模拟研究 [J]. 水动力学研究与进展: A辑, 2013, 28(6): 733 - 743.
- [6] 宋策, 周孝德, 辛向文. 龙羊峡水库水温结构演变及其对下游河道水温影响 [J]. 水科学进展, 2011, 22(3): 421 - 430.
- [7] 甘衍军, 李兰, 武见, 等. 基于 EFDC 的二滩水库水温模拟及水温分层影响研究 [J]. 长江流域资源与环境, 2013, 22(4): 476 - 485.
- [8] 赵一慧, 逢勇. 基于 EFDC 模型的小浪底水库水温研究 [J]. 四川环境, 2017, 36(4): 24 - 31.
- [9] 谢锐, 吴德安, 严以新, 等. EFDC 模型在长江口及相邻海域三维水流模拟中的开发利用 [J]. 水动力学研究与进展: A辑, 2010, 25(2): 165 - 174.
- [10] Hamrick JM. A Three-Dimensional Environmental Fluid Dynamics Computer Code: Theoretical and Computational As-peacts. The College of William and Mary, Virginia Institute of Marine Science. Special Report, 1992, 317: 1 - 63.
- [11] 季振刚. 水动力学和水质——河流、湖泊及河口数值模拟 [M]. 北京: 海洋出版社, 2012.
- [12] Cerco, C. F., and Cole, T. 1994. Three-dimensional Eutrophication Model of Chesapeake Bay. Volume 1: Main Report EL-94-4. US Army Corps of Engineers Waterways Experiment Station.
- [13] Park, K. , A. y. , Shen, J. , and Hamrick, J. H. 1995. A Three-dimensional Hydrodynamic Eutrophication Model (HEM-3D) : Description of Water Quality and Sediment Processes Submodels. The college of William and Mary, Virginia Institute of Marine Science. Special Report 327, 113 pp.
- [14] Park, K. , Jung, H. S. , and Ahn, S. M. 2005. Three-dimensional Hydrodynamic Eutrophication Model (HEM-3D) : application to Kwang-Yang Bay, Korea. Marine Environment Research, 60(2): 171 - 193.
- [15] 刘中峰, 曹玲玲, 冯镜洁. 原型观测法在确定九龙滩水库污染物降解系数中的应用 [J]. 水利水电科技进展, 2014, 34(2): 68 - 75.
- [16] 刘中峰, 李然. 大型水库三维水质模型研究 [J]. 水利水电科技进展, 2010, 30(2): 5 - 9.